

Fig 1.5: Vielfachstreuung

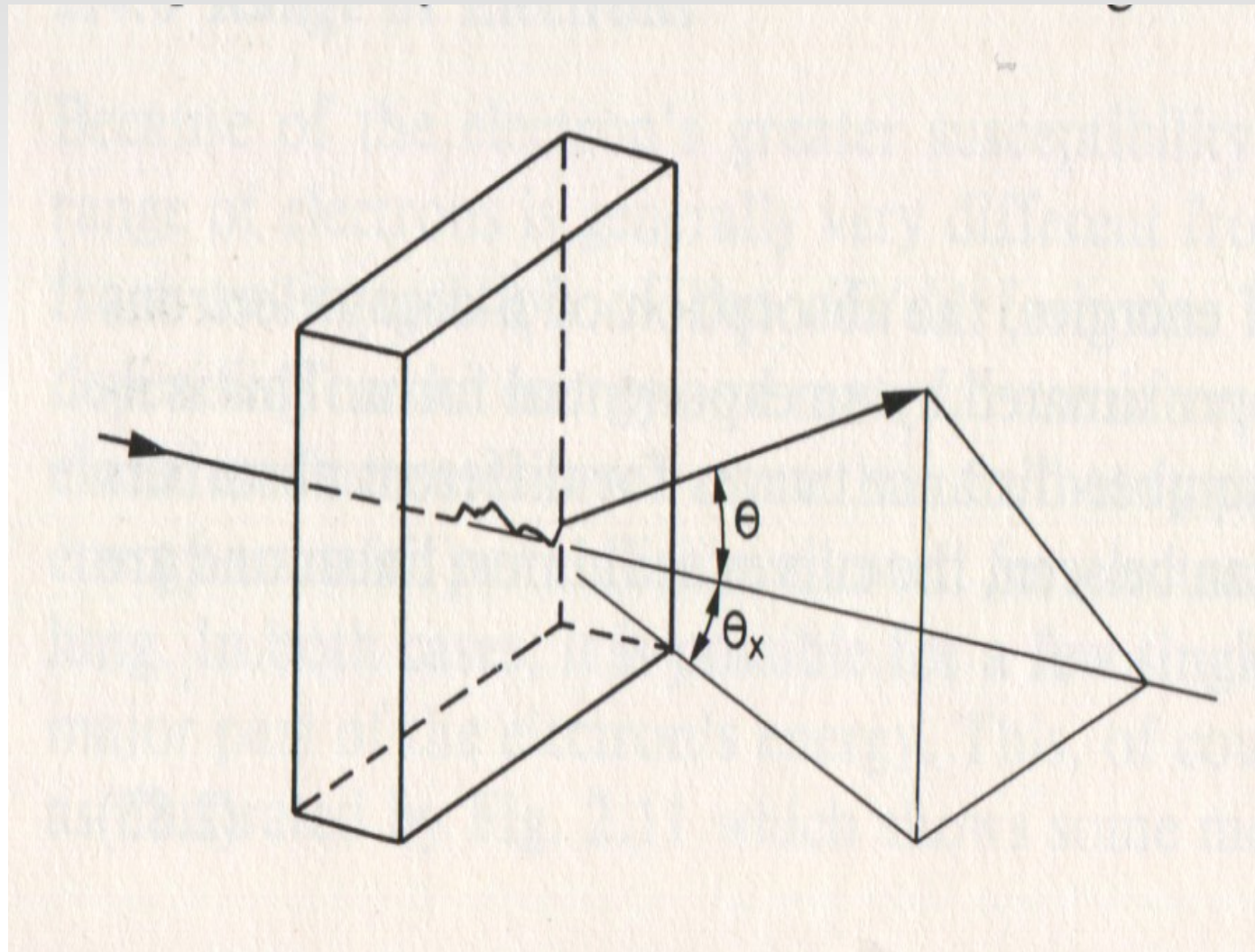


Fig 1.6: Vielfachstreuung von 15,7MeV Elektronen in Goldfolie

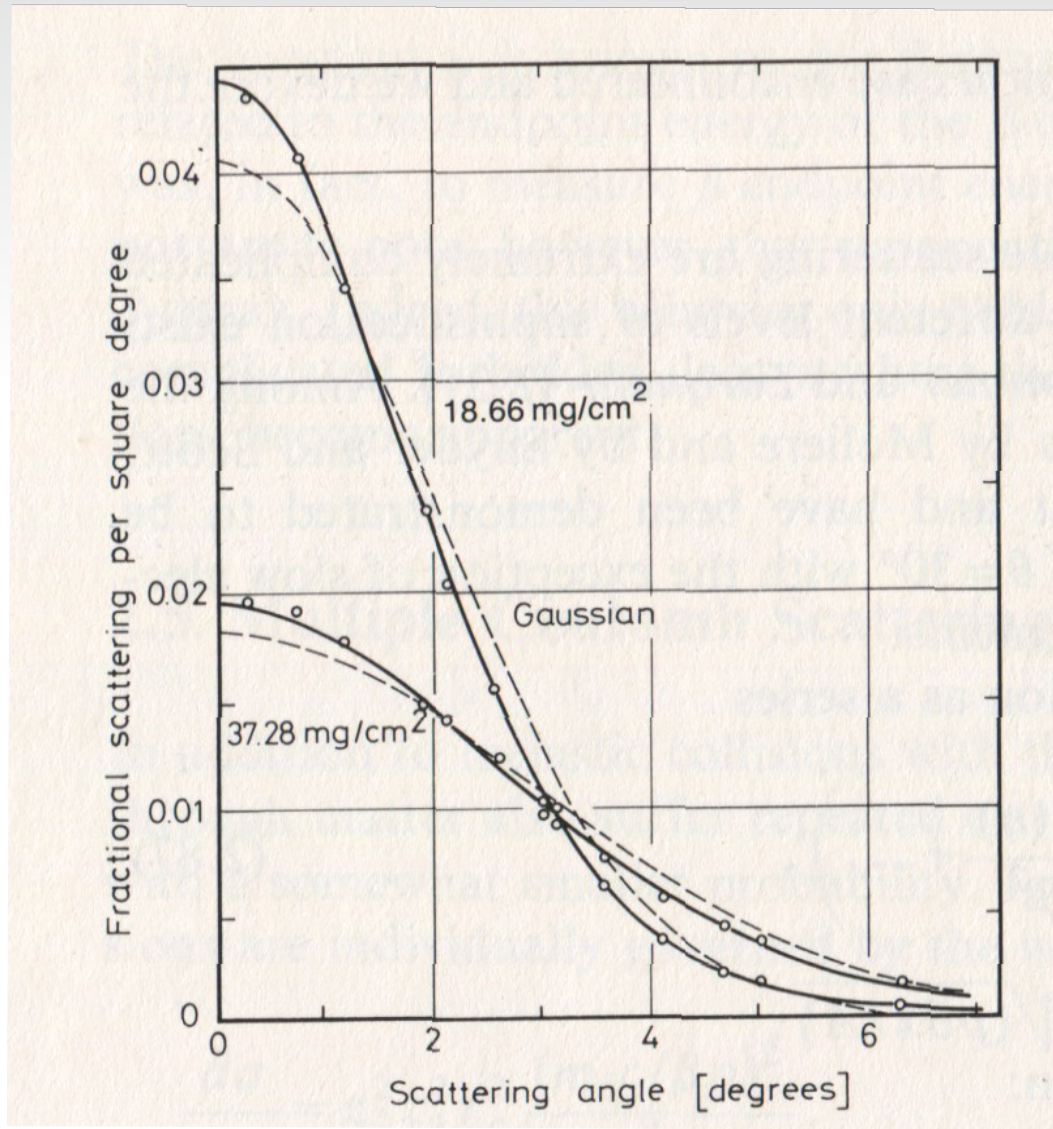


Fig 1.7: X_0 and E_c

Material	Z	A	X_0 [g/cm ²]	X_0 [cm]	E_c [MeV]
Hydrogen	1	1.01	61.3	731 000	350
Helium	2	4.00	94	530 000	250
Lithium	3	6.94	83	156	180
Carbon	6	12.01	43	18.8	90
Nitrogen	7	14.01	38	30 500	85
Oxygen	8	16.00	34	24 000	75
Aluminium	13	26.98	24	8.9	40
Silicon	14	28.09	22	9.4	39
Iron	26	55.85	13.9	1.76	20.7
Copper	29	63.55	12.9	1.43	18.8
Silver	47	109.9	9.3	0.89	11.9
Tungsten	74	183.9	6.8	0.35	8.0
Lead	82	207.2	6.4	0.56	7.40
Air	7.3	14.4	37	30 000	84
SiO_2	11.2	21.7	27	12	57
Water	7.5	14.2	36	36	83

Fig 1.8: Total stopping power

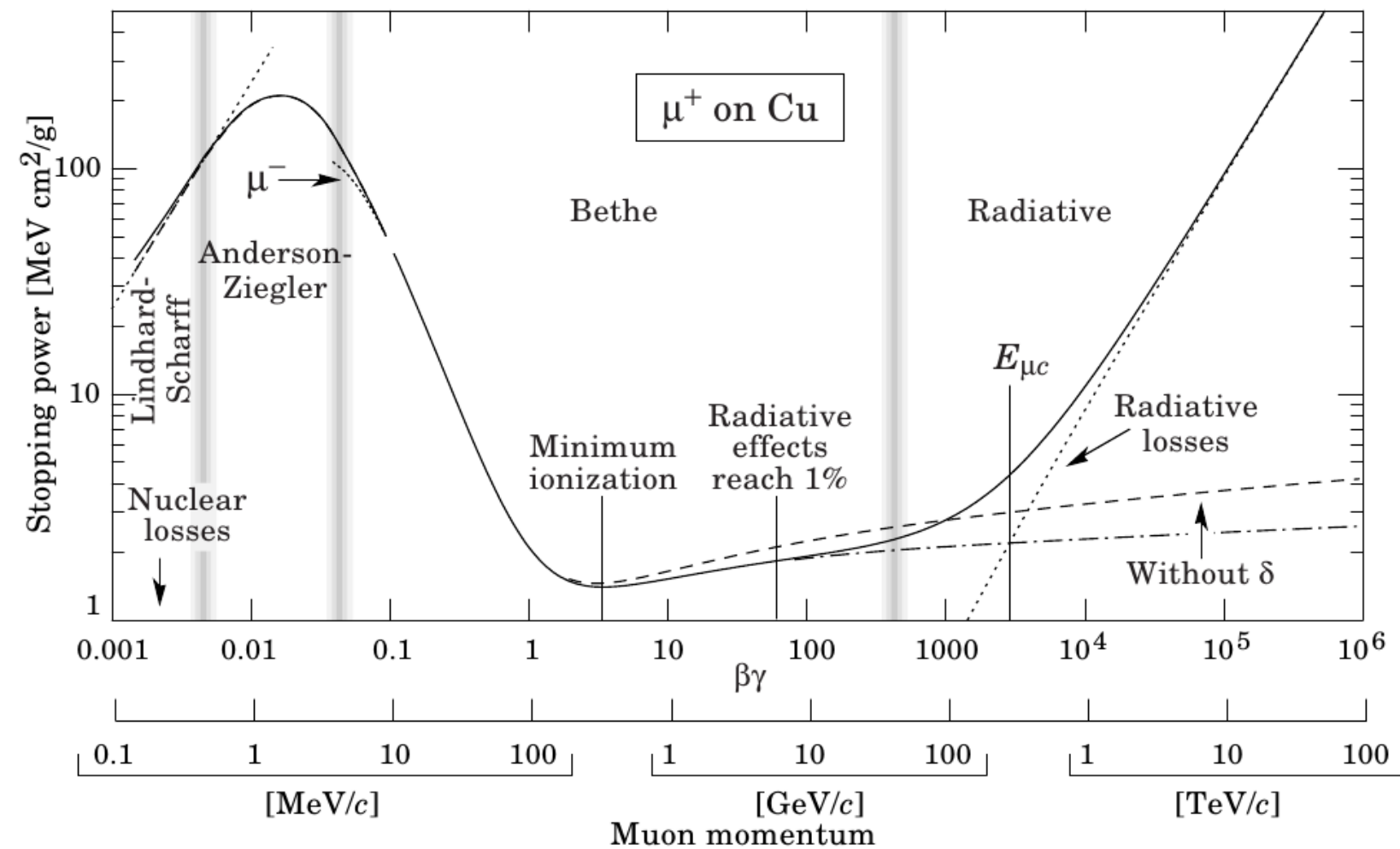


Fig 1.9: Beiträge zu dE/dx , Myonen in Fe

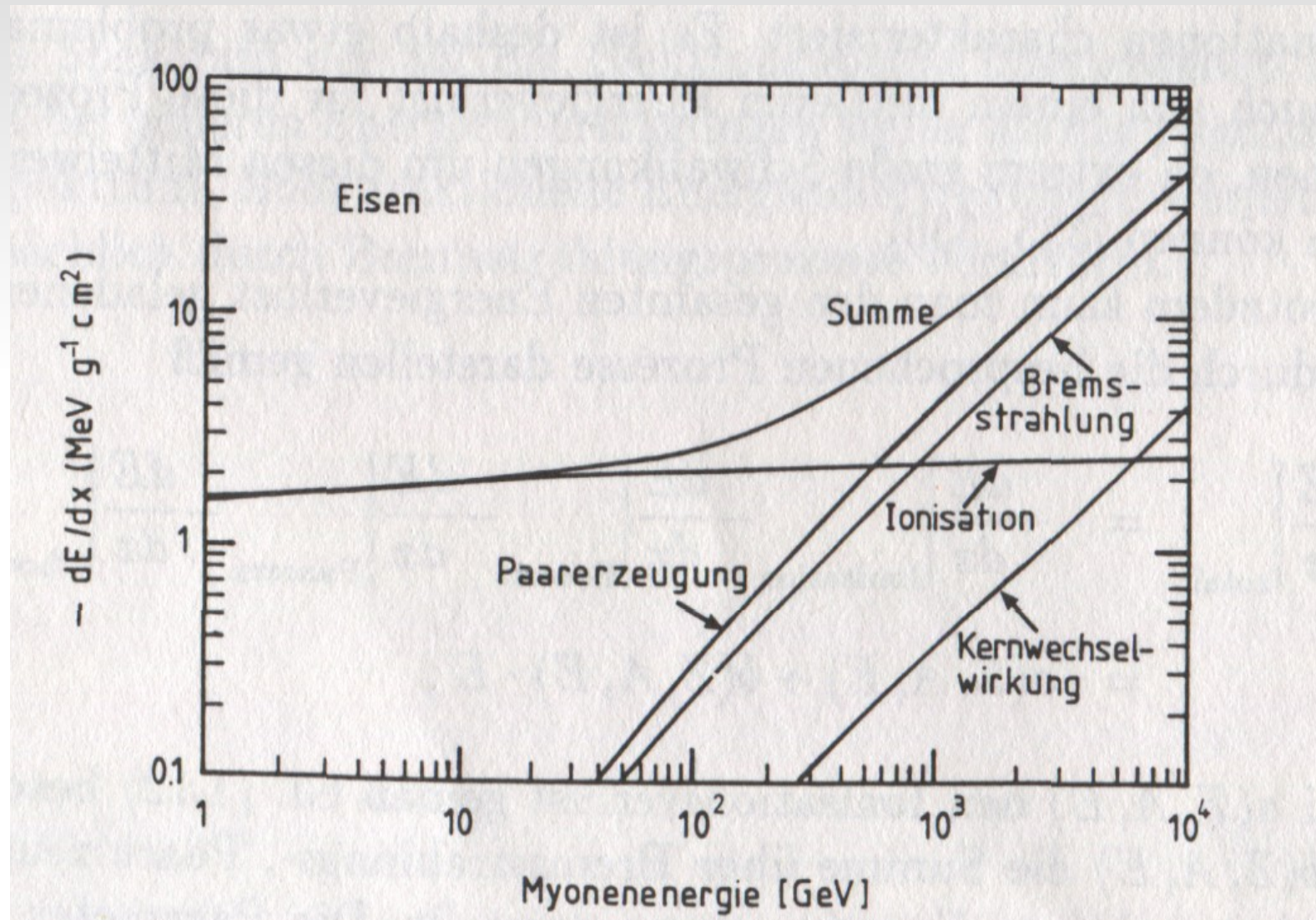


Fig 1.10: α -Teilchen in Luft

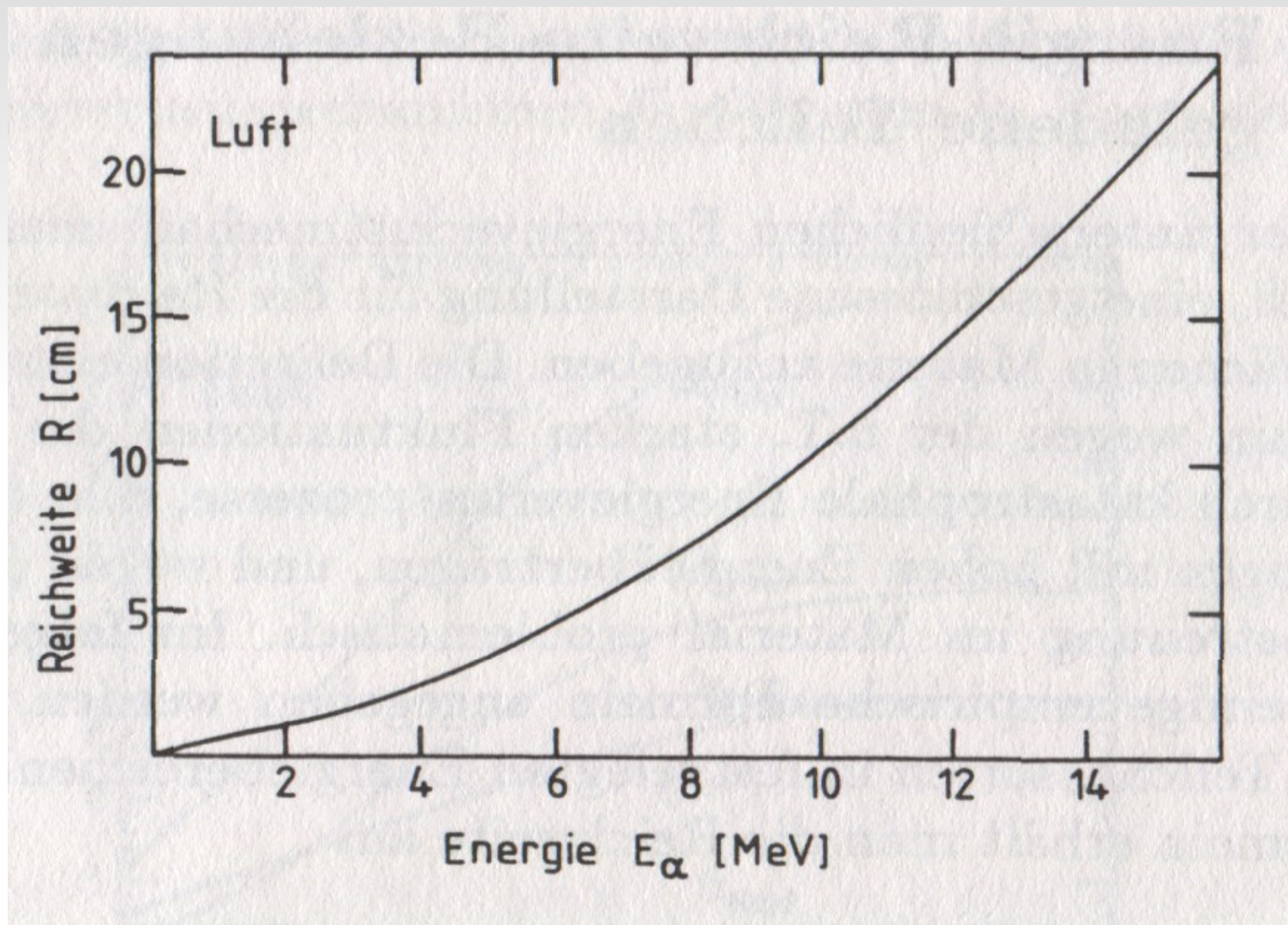


Fig 1.11: Myonen in Fels

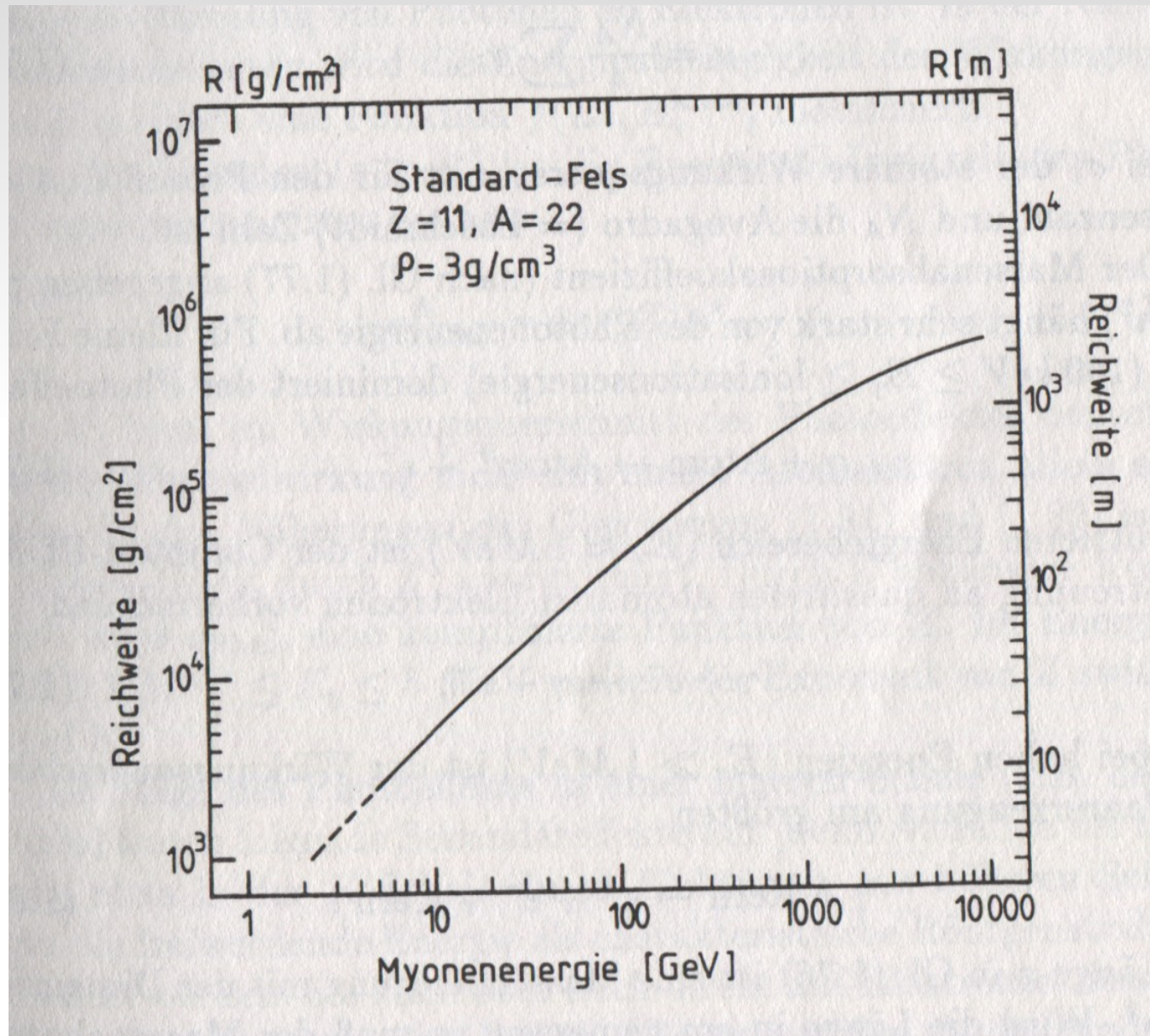


Fig 1.12: Elektronen in Al

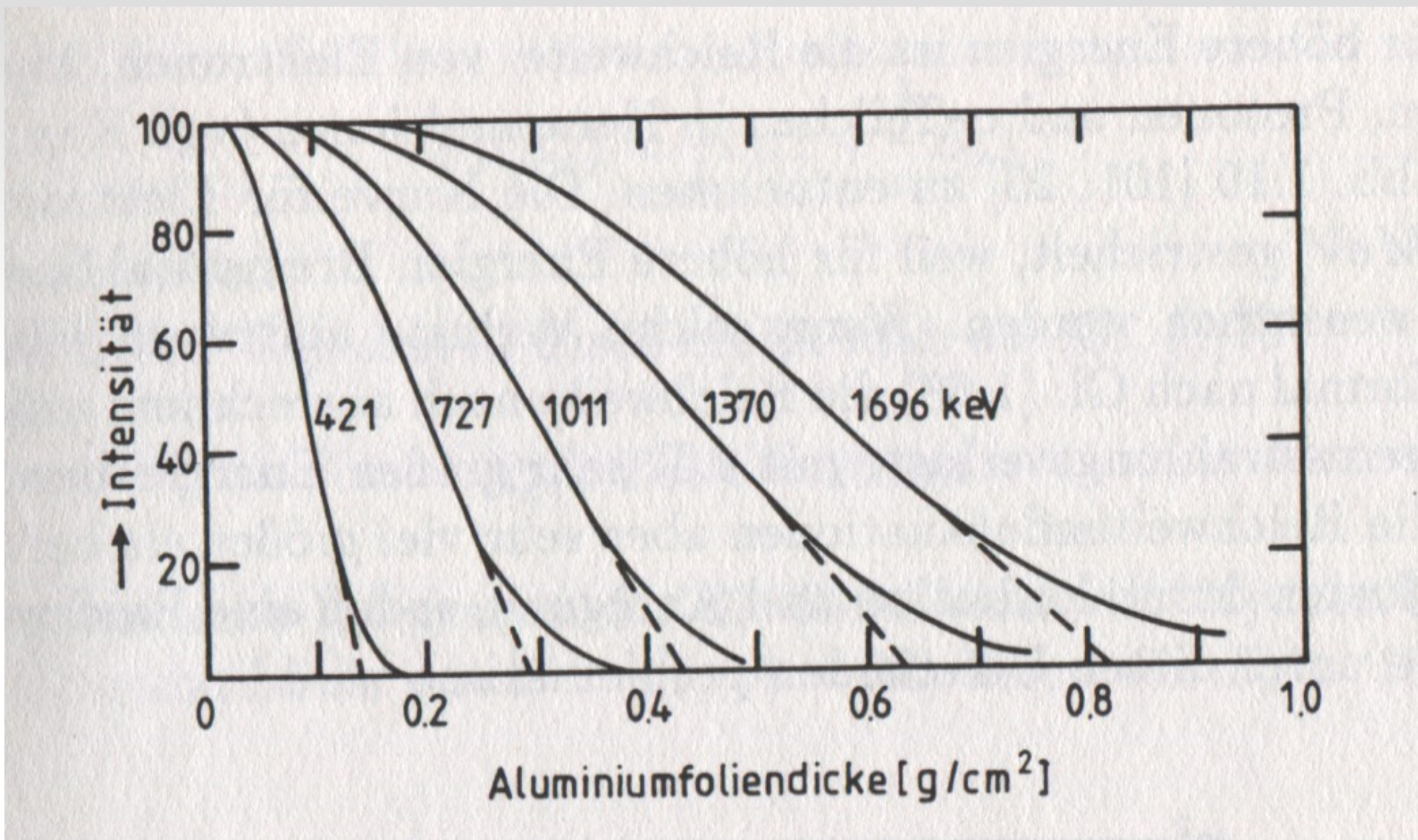


Fig 1.13: Elektronen in versch. Materialien

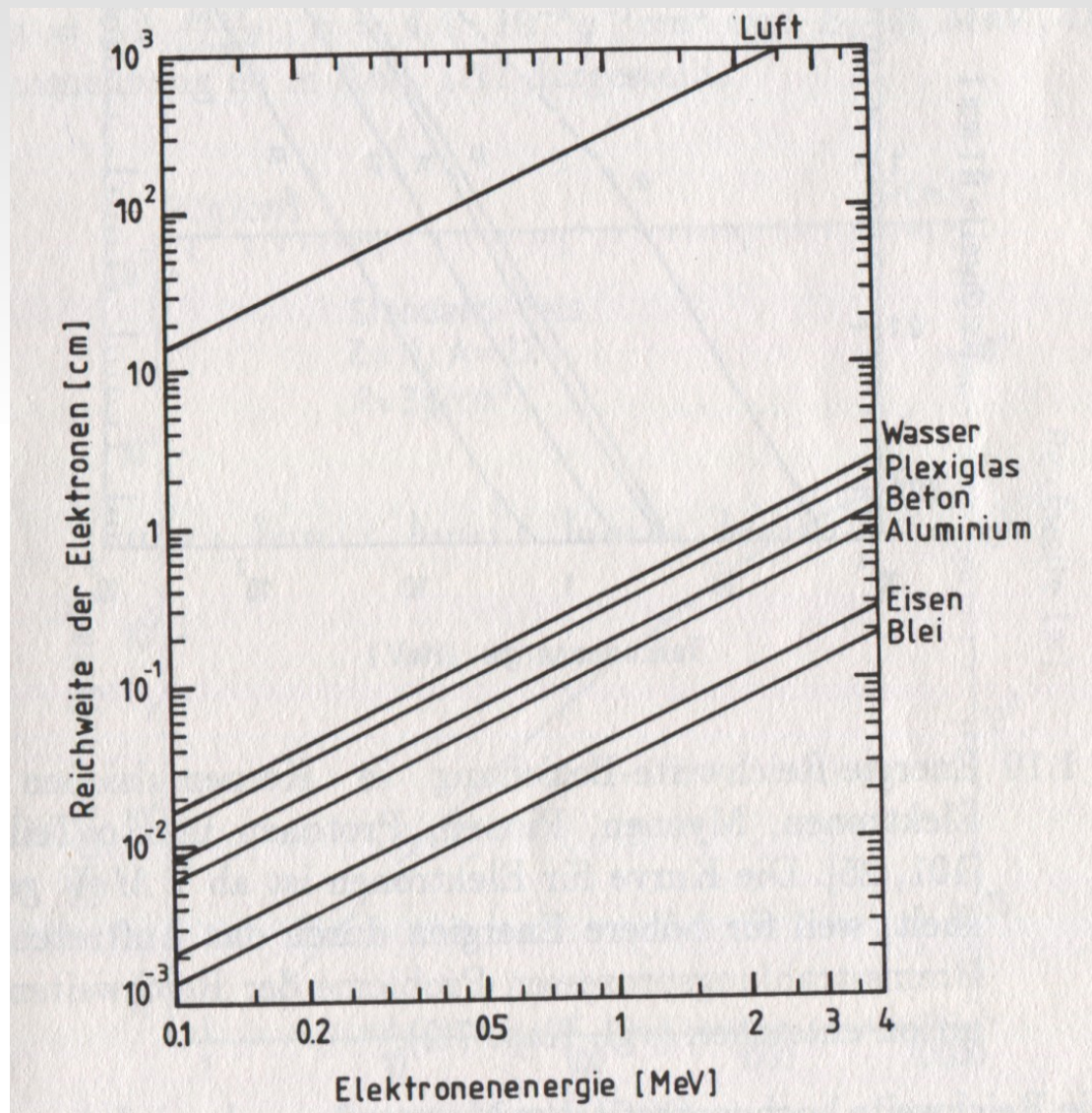


Fig 1.14: Range schwerer geladener Teilchen

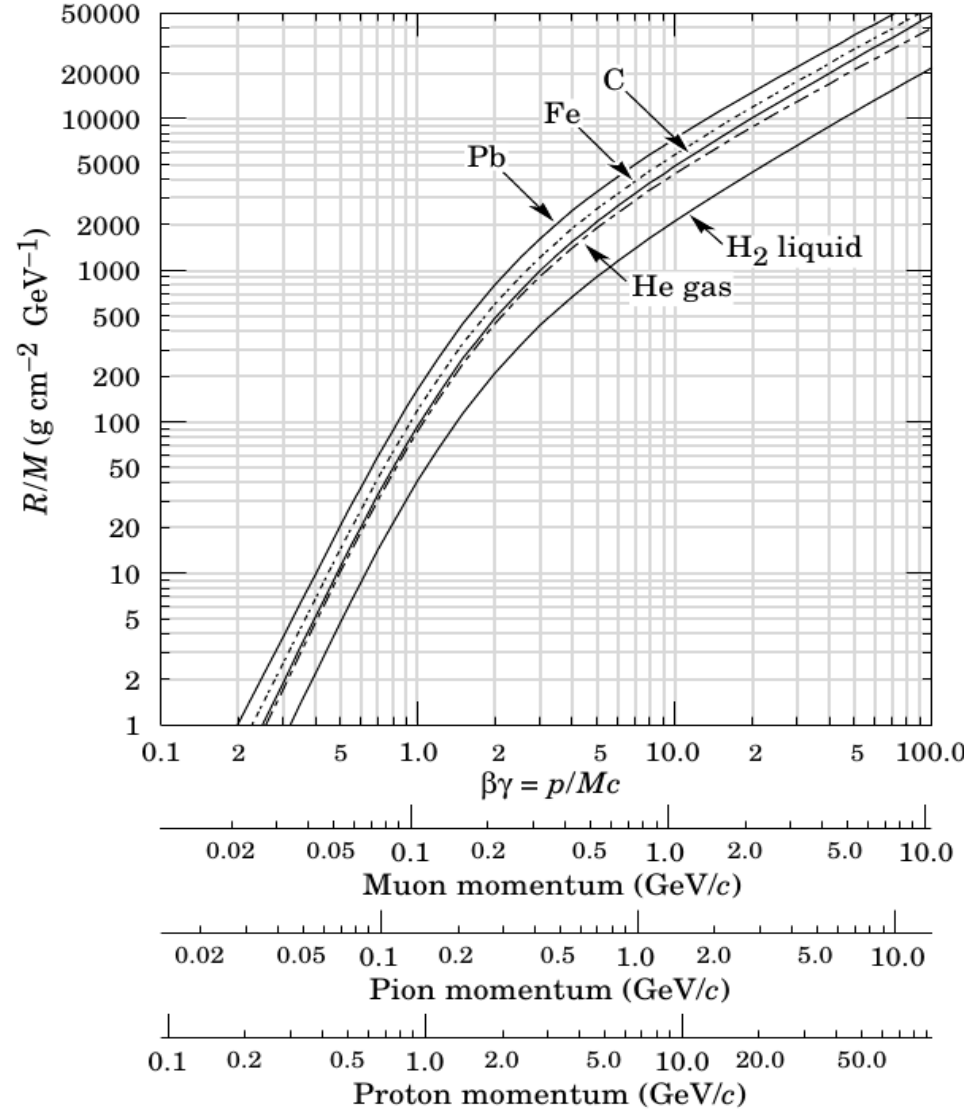


Fig 1.15: Range in Kernemulsion

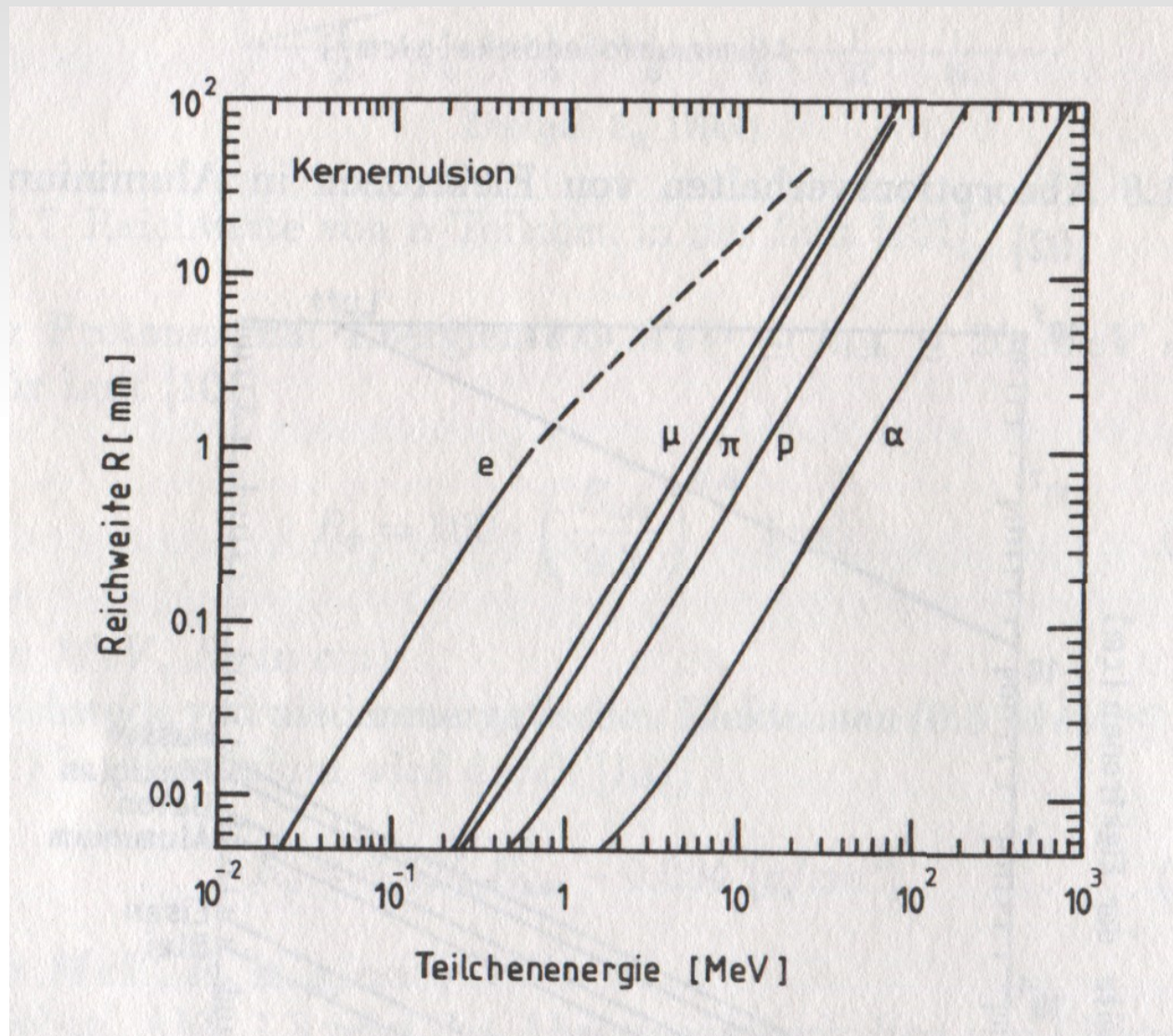


Fig 1.16: Bsp. zum Zentralen Grenzwertsatz

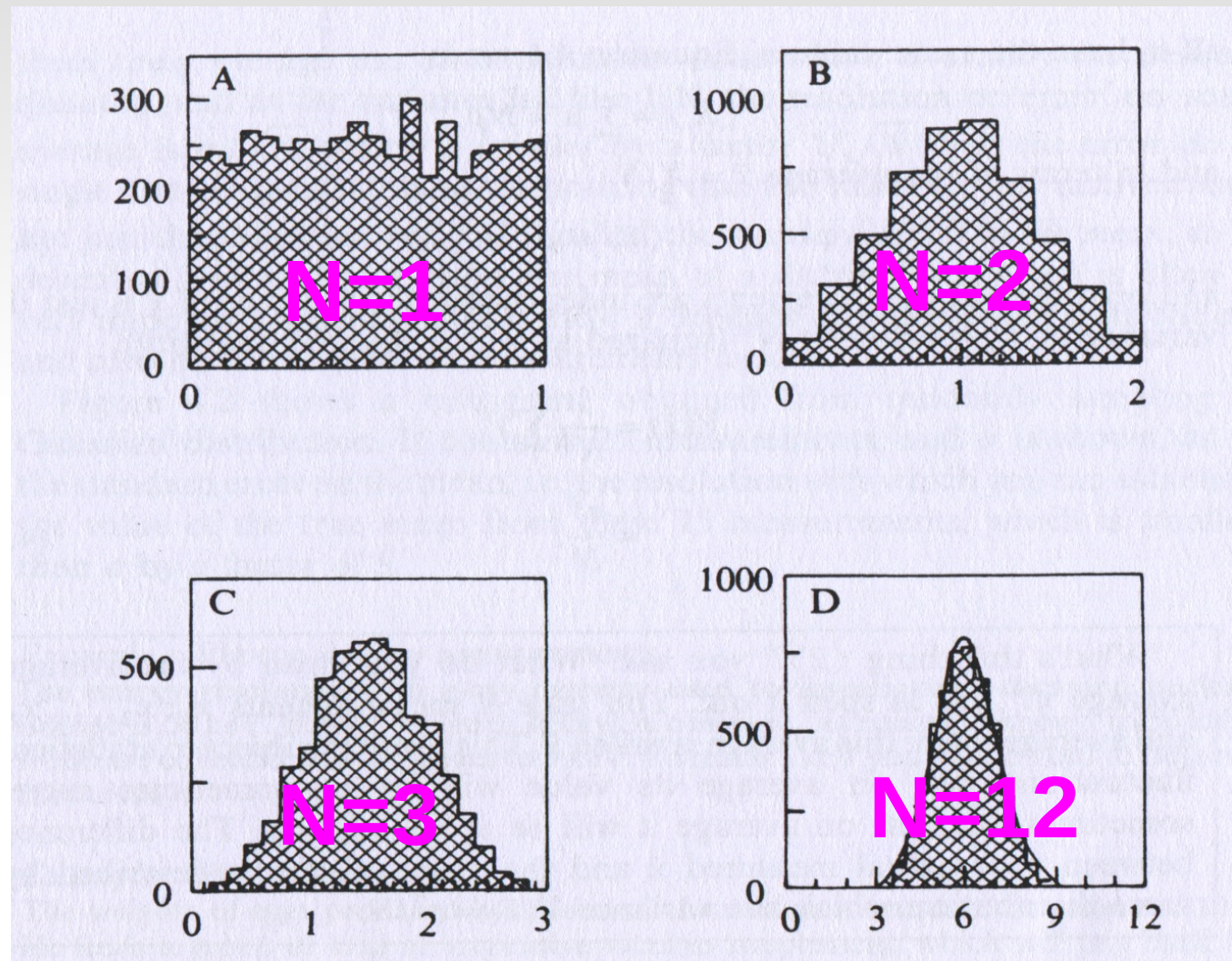


Fig 1.17: Landau-Verteilung in Ar/ CH_4 -Driftkammer

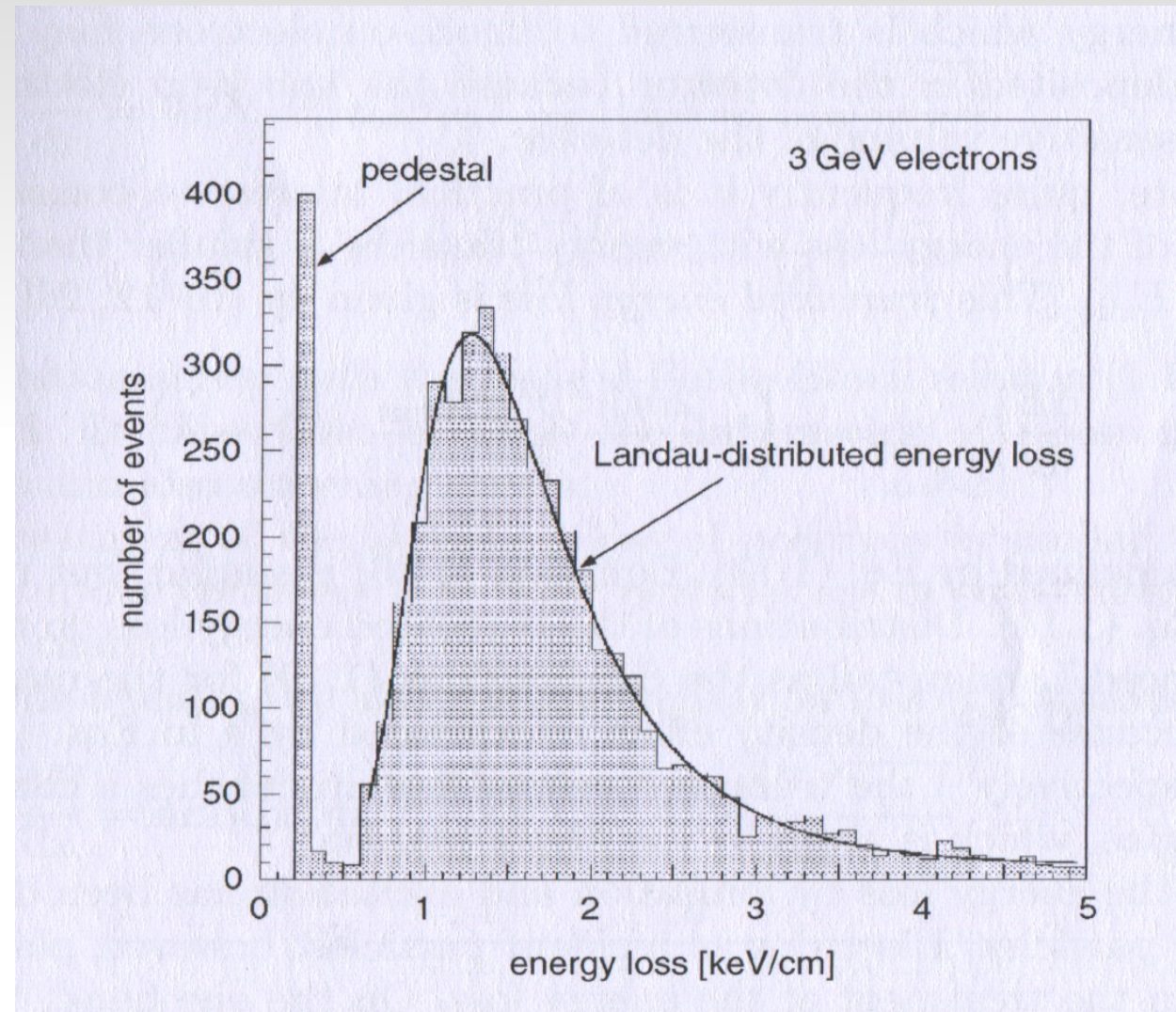
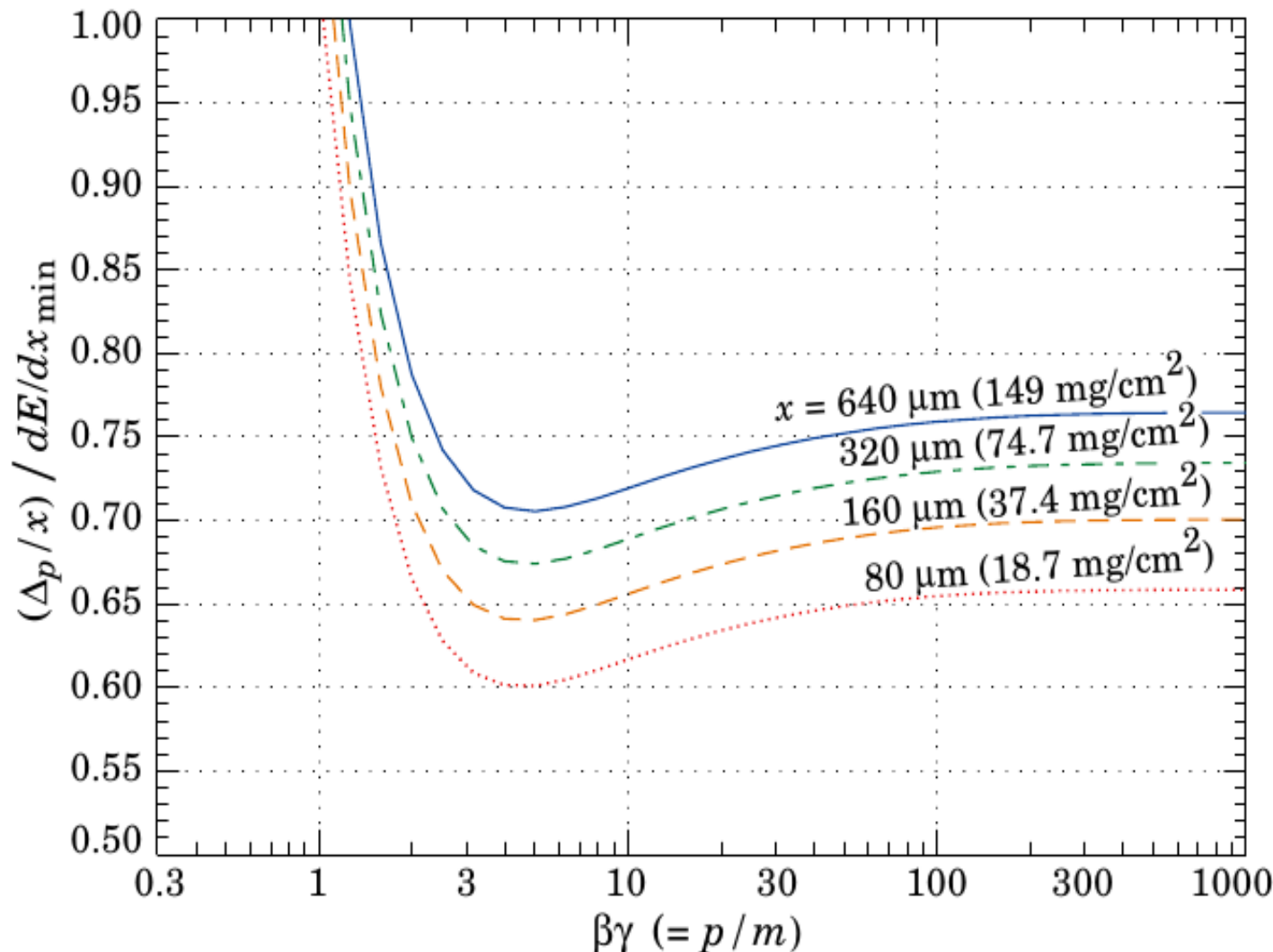


Fig 1.18: ΔE_{MP} in Silizium $(dE/dx_{min} = 388 \text{ eV}/\mu\text{m})$



**Fig 1.19: δ -Elektron
(Blasenkammer in B-Feld)**

